

دراسة السلوك الزلزالي للأعمدة القصيرة في منشأ بيتوبي مسلح قائم بإدخال تأثير عدة أنواع من الترب

محسن محمد محمد¹ ريم سلمان الصحاوي² داليا نجار³

¹. طالب ماجستير، مهندس، المعهد العالي للبحوث والدراسات الزلزالية، قسم الهندسة الإنسانية الزلزالية.

mohsen.mouhammad@damascusuniversity.edu.sy

². مدرس، دكتورة، مهندسة، المعهد العالي للبحوث والدراسات الزلزالية، قسم الهندسة الإنسانية الزلزالية.

reem1.salman@damascusuniversity.edu.sy

³. مدرس، دكتور، مهندس، قسم الهندسة الإنسانية الزلزالية، المعهد العالي للبحوث والدراسات الزلزالية.

DaliaNajjar@Damascusuniversity.edu.sy

الملخص:

تتعرض الأعمدة القصيرة في المنشآت البيتوبية المسلحة إلى قوى قص كبيرة وغالباً ما تبدي أداءً ضعيفاً تحت تأثير أحصار الزلازل بسبب استجابتها الغير مطابعة. عند تصميم الأبنية يجب التركيز على مرونة التربة بدلاً من التركيز على فكرة أن هذه الأبنية موثوقة في الأرض لأن مرونة التربة لها أهمية كبيرة على الخصائص الديناميكية للمبني واستجابتها. يتناول البحث الحالي دراسة السلوك الديناميكي للأعمدة القصيرة الواقعة ضمن مبني سكني قائم في مدينة طرطوس من خلال مقارنتها مع أعمدة ذات ارتفاع أكبر في نفس المبني وذلك تحت تأثير الأحمال الزلزالية بالاستعانة ببرنامج 2016 – ETABS. تمأخذ تأثير التفاعل المتبادل بين المنشأ والتربة عن طريق تمثيل التربة باستخدام مجموعة من النواص المرنة حيث تم اختيار ثلاثة أنواع من الترب ذات خصائص مختلفة. أجريت مقارنة للاستجابة الزلزالية لهذه الأعمدة القصيرة من خلال مقارنة الانتقالات الجانبية، الانزياحات الجانبية النسبية، وقوى القص في حالة القاعدة الموثوقة وبعد إدخال التأثير المتبادل بين المنشأ والتربة. أظهرت النتائج زيادة في قيمة الانتقالات الأفقية والانزياحات النسبية وقوى القص في الأعمدة القصيرة والأعمدة ذات الارتفاع الأكبر عند إدخال تأثير التربة حيث كانت قيم الانتقالات والانزياحات في الأعمدة القصيرة أصغر منها في الأعمدة ذات الارتفاع الأكبر بينما كانت قيم قوى القص في الأعمدة القصيرة أكبر منها في حالة الأعمدة ذات الارتفاع الأكبر.

الكلمات المفتاحية: الأعمدة القصيرة، التفاعل المتبادل بين المنشأ والتربة، النواص، نوع التربة.

تاريخ الإيداع: 2023/7/8

تاريخ القبول: 2023/10/28



حقوق النشر: جامعة دمشق
سورية، يحتفظ المؤلفون
بحقوق النشر بموجب -
CC BY-NC-SA

Studying the Seismic Behavior of Short Columns in Existing RC Building Considering the Effect of Different Types of Soils

Mohsen Mouhammad Mouhammad^{*1} Reem Salman Alsehnawi² Dalia Najjar³

^{*1}. Master, Eng, Student in Department of Seismic Structural Engineering, Higher Institute of Earthquake Studies & Research. mohsen.mouhammad@damascusuniversity.edu.sy

². Assistant Professor in Department of Seismic Structural Engineering, Higher Institute of Earthquake Studies & Research., reem1.salman@damascusuniversity.edu.sy

³. Assistant Professor in Department of Seismic Structural Engineering, Higher Institute of Earthquake Studies & Research.

DaliaNajjar@Damascusuniversity.edu.sy

Abstract:

Short columns in reinforced concrete structures are subjected to large shear forces and often show weak performance under the influence of earthquake loads due to their non-ductile response. When designing buildings we must concentrate on the elasticity of soil rather than concentrating on the idea that these buildings are fixed to the ground because elasticity of soil is of a very fundamental importance on the dynamic properties of the building and its response. The current research deals with the study of the dynamic behavior of short columns in an existing residential building located in Tartous city by comparing them with columns of greater height in the same building under the influence of seismic loads using ETABS-2016 software. The effect of soil-structure interaction was taken into consideration in representing the soil by using a set of elastic springs by selecting three types of soil with different properties. A comparison of the seismic response of the short columns was made by comparing the lateral displacements, lateral drift ratios and shear forces when the base is fixed and when applying the soil-structure interaction. The results showed an increase in the lateral displacements, drift ratios and shear forces in short columns and columns of greater height after the soil effect is taken into account so that the values of displacements and drifts in short columns were smaller than in columns of greater height but the values of shear forces in short columns were greater than in columns of greater height.

Key words: Short Columns, Short Columns, Springs, Soil Type.

Received: 8/7/2023

Accepted: 28/10/2023



Copyright: Damascus University- Syria, The authors retain the copyright under a CC BY- NC-SA

قام Ghosh وآخرون (2019) بدراسة مبني مكون من 5 طوابق بارتفاع كلي 15m بزوايا انحدار (0°, 15°, 30°, 45°)، تم إجراء تحليل ستاتيكي مكافئ وتحليل ديناميكي باستخدام طيف الاستجابة، التربة متوسطة الصلابة، من أهم النتائج التي تم التوصل إليها تناقص الدور الطبيعي والانتقالات بزيادة زاوية الانحدار مع تزايد القيم عندأخذ التأثير المتبادل بعين الاعتبار وكذلك تزايد عدم الانعطاف في الأعمدة القصيرة عند زيادة الزاوية.

1. أهمية البحث وأهدافه (Research Importance) (and Objectives):

باعتبار أن سلوك العمود القصير ضمن المنشآت البيتونية المسلحة يختلف عن سلوك بقية الأعمدة بسبب القص الكبير الذي يتعرض له، لذلك لا بد من دراسة سلوك مثل هذه الأعمدة القصيرة. وكما هو معلوم بأنه عند تصميم المنشآت الواقعة في مناطق زلزالية فإنه يتم اعتبارها موثوقة في القاعدة دون الأخذ بالحسبان مرونة التربة وما تحدثه من تأثيرات في المنشآ. من هنا جاء هذا البحث ليدرس السلوك الزلزالي الدقيق للمنشآت البيتونية المسلحة الحاوية على أعمدة قصيرة بأخذ تأثير التفاعل المتبادل بين التربة والمنشآ بعين الاعتبار. يهدف هذا البحث إلى دراسة السلوك الزلزالي للأعمدة القصيرة الواقعة ضمن أحد المنشآت البيتونية المسلحة القائمة في مدينة طرطوس تحت تأثير الأحمال الزلزالية بإدخال التأثير المتبادل بين المنشآ والتراب، وذلك من خلال دراسة تأثير ثلاثة أنواع من الترب، حيث تم تقييم السلوك وإيجاد قيم كل من قوى القص، الانتقالات الأفقية، الانزياحات الأفقية النسبية للأعمدة القصيرة.

2. مواد البحث وطريقه (Materials and Methods):

2.1. توصيف المبني المدروس:

إن المبني المدروس عبارة عن مبني سكني من البيتون المسلح يقع في مدينة طرطوس في منطقة تجمع تجاري تسمى شارع الوكالات وهو مؤلف من قبو وطابق أرضي وطابق خدمي

دراسة السلوك الزلزالي للأعمدة القصيرة في منشأ.....

المقدمة (Introduction):

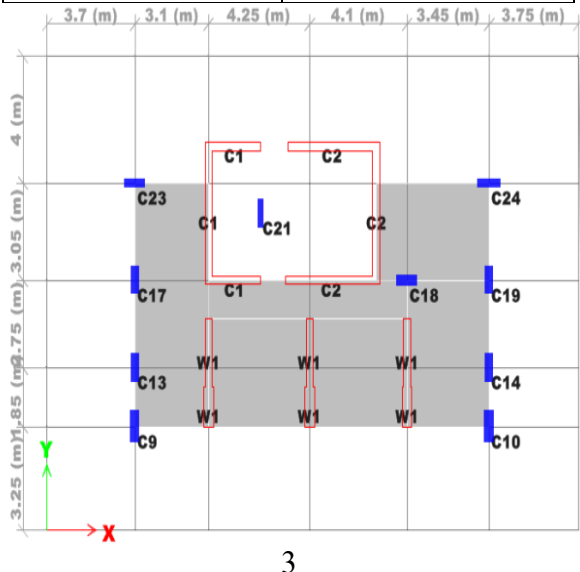
يلقي تحليل التأثير المتبادل بين المنشآ والتربة الضوء على استجابة الأساسات ضمن وسط التربة المشوه، وقد يؤثر تشوه التربة بسبب تحمل الأساس على الإجهادات في الأساس والعناصر الإنشائية المجاورة والتي قد يكون لها آثار تصميمية هامة. يمكن تعريف التأثير المتبادل بين المنشآ والتربة بأنه تأثير سلوك التربة على حركة المنشآ وكذلك تأثير حركة المنشآ على سلوك التربة. يتضمن النموذج الأكثر استخداماً في تجسيد السلوك المرن الخطي للتربة استخدام نوابض وينكلر (Winkler) المستقلة لتمثيل تفاعل التربة (AI-1,2 (Hussaini, 2016).

إن سلوك الأعمدة القصيرة ضمن المنشآت البيتونية المسلحة يختلف عن سلوك بقية الأعمدة بسبب الارتفاع القليل، وبالتالي قوى القص الكبيرة التي تتعرض لها مثل تلك الأعمدة السابقة التي حصلت سبب ضرراً واضحاً في الأعمدة القصيرة، لذلك كان لا بد من التركيز على دراسة السلوك الزلزالي لهذه الأعمدة القصيرة تقادياً لحدوث أضرار كبيرة في هذه الأعمدة وبالتالي في المنشآ ككل (Dogan, 2010, 684).

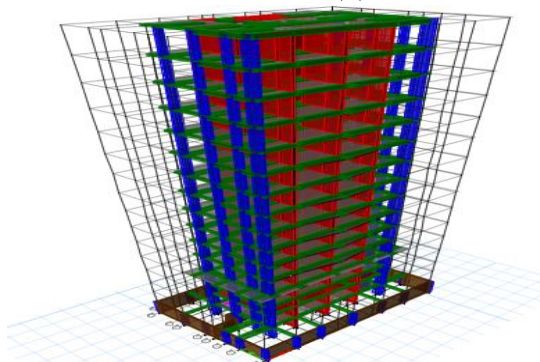
قام Priyanka وآخرون (2012) بدراسة مبني إطاري مكون من 10 طوابق تحت تأثير عدة أنواع من الترب، تم تحليل البناء بطريقة طيف الاستجابة وإجراء المقارنة في حالة القاعدة الموثوقة والقاعدة مرنة، أبدت النتائج ارتفاع قيمة كل من الانتقالات والقص القاعدي كلما تناقصت صلابة التربة.

قدم Ramin وآخرون (2014) مقارنة بين مبنيين مؤلفين من 4 طوابق أحدهما على أرض مستوية والآخر يميل بزاوية 20° عن الأفق، شمل البحث إجراء التحليل بطريقتين: تحليل ستاتيكي خطي وتحليل لا خطي، أظهرت النتائج أن وجود الأعمدة القصيرة يسبب ارتفاعاً في صلابة الطابق مما ينتج عنه تناقص في قيمة الانتقال في هذا الطابق وبالتالي في المنشآ ككل.

إطارات متوسطة من النوع IMRF	
$R=6.5$	معامل تعديل الاستجابة
$Ca = 0.3, Cv = 0.41$	المعاملات الزلزالية لترية الموقع
$Ca = 0.25, Cv = 0.25$	المعاملات الزلزالية للترية الرملية الكثيفة
$Ca = 0.2, Cv = 0.2$	المعاملات الزلزالية للترية الصخرية
$I=1$	معامل أهمية المنشأ
0.05	النخامة



الشكل (1) مسقط الطابق المدروس



الشكل (2) المبني بالشكل ثلاثي الأبعاد

2.3. نمذجة التربة بإدخال تأثير النواص:

تبين العلاقات التالية كيفية حساب القساوة للأساسات الواقعة فوق سطح الأرض (Soil Structure, 2012, 43):

دراسة السلوك الزلزالي للأعمدة القصيرة في منشأ (نصاصي) و 13 طابق متكرر، تم تشييده في العام 2020 وهو يقع ضمن المنطقة الزلزالية 2C، تربة التأسيس هي عبارة عن تربة غضارية متمسكة والأساسات المستخدمة هي عبارة عن حصيرة عامة، تبين الجداول (1) و (2) خصائص المواد المستخدمة ومواصفات البناء المدروس، على التوالي، ويبين الجدول (3) الخصائص الزلزالية. كما تبين الأشكال (1) و (2) مسقط الطابق المدروس والمبني بالشكل الفراغي، على التوالي.

الجدول (1) خصائص المواد المستخدمة

25	kN/m^3	الوزن الحجمي للبيتون
22.5×10^3	kN/m^2	المقاومة المميزة للبيتون
4×10^5	kN/m^2	إجهاد الخضوع للتسليح الرئيسي
24×10^4	kN/m^2	إجهاد الخضوع للتسليح الثانوي

الجدول (2) مواصفات البناء المدروس

16	عدد الطوابق
3.35m	ارتفاع القبو
2.6m	ارتفاع الطابق النصاصي
3.5m	ارتفاع الطابق المتكرر
300 kg/m^2	الحملة الميتة
$(300 \rightarrow 500) \text{ kg/m}^2$	الحملة الحية
0.25	سمكية البلاطة (m)
0.8x0.25, 0.4x0.25, 0.3x0.6, 0.25x0.5	أبعاد الجواز (m)
0.3x0.6, 0.4x1, 0.35x1, 0.3x1, 0.35x0.9, 0.3x0.9, 0.3x0.8, 0.3x0.7, 0.25x0.7, 0.25x0.6, 0.25x0.8, 0.25x0.5, 0.25x1	أبعاد الأعمدة (m)
0.25, 0.3, 0.35, 0.4	سمكية الجدران (m)
$E = 25495 \times 10^3 \text{ kN/m}^2$	معامل المرونة
$v = 0.2$	معامل بواسون
$G = 10623 \times 10^3 \text{ kN/m}^2$	معامل القص

الجدول (3) الخصائص الزلزالية

2C	المنطقة الزلزالية
جملة ثنائية مكونة جدران قص	الجملة المقاومة للقوى الجانبية

محمد، الصحاوي ونجار

يبين الجدول (4) خصائص هذه الترب (Yasir et al., 2018,7

الجدول (4) خصائص الترب المستخدمة

عامل المرونة القصي G (kN/m ²)	نسبة بواسون v	عامل المرونة الطولي Es (kN/m ²)	نوع التربة
3571.42	0.4	10000	ترية غضارية شديدة التماسك
30769.23	0.3	80000	ترية رملية كثيفة
83333.33	0.2	200000	ترية صخريّة

يوضح الجدول (5) صلابات النوايض للترب المدروسة

بالاعتماد على العلاقات السابقة:

الجدول (5) صلابات النوايض للترب المدروسة.

نوع التربة			صلابة النايب (kN/m)
صخريّة	رملية كثيفة	غضارية شديدة التماسك	صلابة النايب (kN/m)
5532660	2334661	316152	K _{z,emb}
5898274	2305932	284381.1	K _{y,emb}
5688212	2223808	274253.1	K _{x,emb}

4.3 مراحل الدراسة:

تمت الدراسة على مرحلتين:

المرحلة الأولى:

تم اعتبار المبني المدروس موثوق من الأسفل (حالة النموذج الشائع)، حيث تم تحليل المبني باستخدام طريقة التحليل статистическая المكافأة ومن ثم معايرتها مع طريقة التحليل الديناميكي الخطى (طيف الاستجابة) وذلك باستخدام برنامج .ETABS

المرحلة الثانية:

تمأخذ تأثير الفعل المتبادل (ترية - منشأ) بعين الاعتبار عن طريق نمذجة التربة على شكل نوابض، ومن ثم إعادة التحليل الديناميكي. تم دراسة سلوك الأعمدة القصيرة ضمن المنشأ والواقعة في أحد الطوابق بارتفاع 2.6m ومقارنتها مع أعمدة أطول منها ضمن نفس المنشأ بارتفاع 3.5m وذلك مع بدونأخذ تأثير التفاعل المتبادل بين المنشأ والتربة.

دراسة السلوك الزلزالي للأعمدة القصيرة في منشأ.....

- الانتقال باتجاه المحور Z:

$$K_{z,sur} = \frac{G B}{1-v} [3.1 (\frac{L}{B})^{0.75} + 1.6]$$

- الانتقال باتجاه المحور Y:

$$K_{y,sur} = \frac{G B}{2-v} [6.8 (\frac{L}{B})^{0.65} + 0.8 (\frac{L}{B}) + 1.6]$$

- الانتقال باتجاه المحور X:

$$K_{x,sur} = \frac{G B}{2-v} [6.8 (\frac{L}{B})^{0.65} + 0.8 (\frac{L}{B}) + 1.6]$$

L : نصف البعد الأكبر لقاعدة البناء.

B : نصف البعد الأصغر لقاعدة البناء.

v : نسبة بواسون.

G : عامل المرونة القصي.

◦

إن عمق التأسيس أسفل سطح الأرض يزيد من قساوة الأسس

وبالتالي إذا كان الأسس مطمور فيجب ضرب العلاقات

السابقة بمعاملات تصحيح كما يلي (Soil

:Structure,2012,4

$$\eta_z = [1 + (0.25 + \frac{0.25}{L/B}) (\frac{D}{B})^{0.8}]$$

$$\eta_y = [1 + (0.33 + \frac{1.34}{1+L/B}) (\frac{D}{B})^{0.8}]$$

$$\eta_x \approx \eta_y$$

D : عمق الأسس المطمور.

وبالتالي تصبح العلاقات في حالة الأسس المطمور على

الشكل التالي:

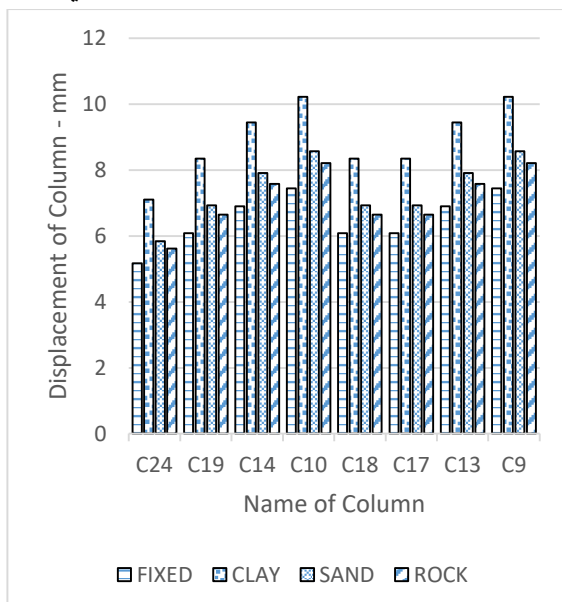
$$K_{z,emb} = \eta_z \times K_{z,sur}$$

$$K_{y,emb} = \eta_y \times K_{y,sur}$$

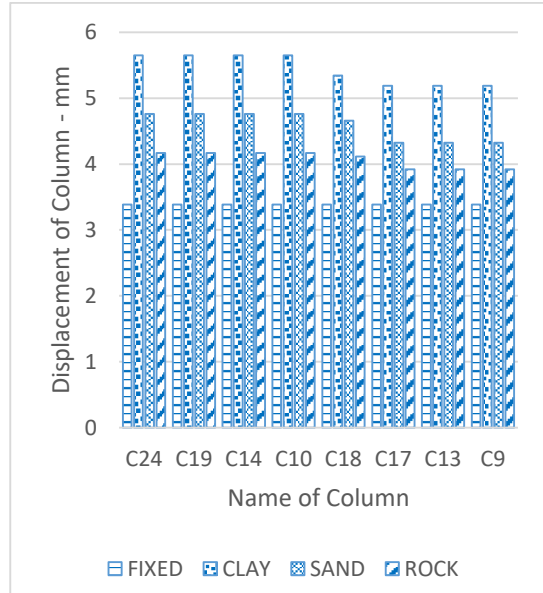
$$K_{x,emb} = \eta_x \times K_{x,sur}$$

3.3. الترب المستخدمة في الدراسة:

تم اختيار الترب من الملحق (5) للكود العربي السوري (كود الأسسات،2012،25). تم اختيار هذه الترب بحيث يكون الإجهاد المسموح لها أكبر من الإجهاد المسموح لترية الموقع،



الشكل (3) الانقلال الأفقي للأعمدة القصيرة في الطابق النصاسي بالاتجاه X في حالة المبني الموثوق والمبني بعد إدخال تأثير التربة.



الشكل (4) الانقلال الأفقي للأعمدة القصيرة في الطابق النصاسي بالاتجاه Y في حالة المبني الموثوق والمبني بعد إدخال تأثير التربة.

يظهر الشكلان (3) و(4) الانقلالات الأفقية للأعمدة القصيرة في الطابق النصاسي بالاتجاهين X, Y في حالة المبني الموثوق وبعد إدخال تأثير التربة، حيث بلغت قيم الانقلالات من (3.4mm) حتى (7.5mm) في حالة المنشأ الموثوق ومن

دراسة السلوك الزلزالي للأعمدة القصيرة في منشأ
يبين الشكل (3) والشكل (4) مقارنة قيم الانقلال الأفقي للأعمدة القصيرة في الاتجاهين X و Y على التوالي. ويبين الشكل (5) والشكل (6) قيم الانزياح النسبي بالاتجاهين X و Y. كما تم إظهار قوى القص في الأعمدة في الشكلين (7) و (8).

يبين الشكل (9) والشكل (10) مقارنة قيم الانقلال الأفقي للأعمدة ذات الطول الأكبر في الاتجاهين X و Y على التوالي. ويبين الشكل (11) والشكل (12) قيم الانزياح النسبي بالاتجاهين X و Y. كما تم إظهار قوى القص في الأعمدة في الشكلين (13) و (14).

3. النتائج والمناقشة

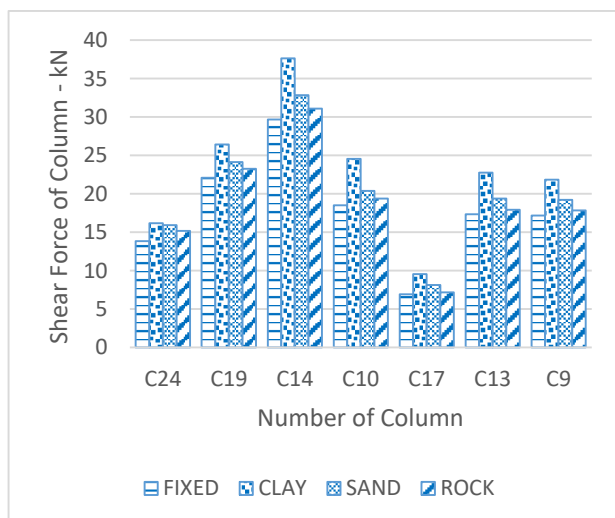
Discussion

تم دراسة الاستجابة الزلزالية في الأعمدة والمتمثلة في (الانقلالات الأفقية، الانزياحات الأفقية النسبية، وقوى القص) وتم مقارنة النتائج بين هذه الأعمدة في حالة المنشأ الموثوق وحالة المنشأ معأخذ تأثير نوع التربة.

محمد، الصناوي ونجار

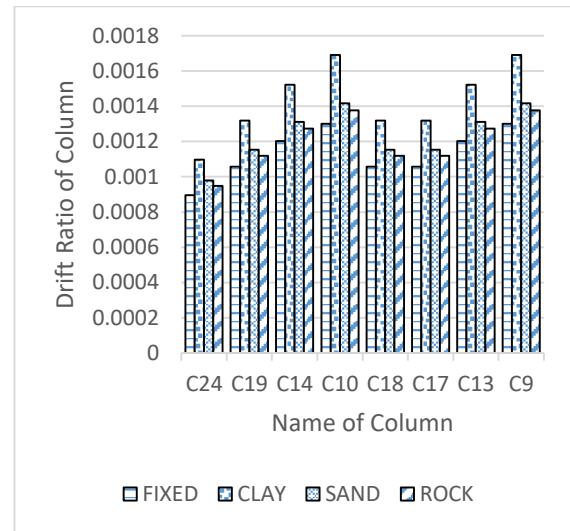
يبين الشكلان (5) و(6) الانزياح الأفقي النسبي للأعمدة القصيرة في الطابق X في حالة المبني الموثوق وبعد إدخال تأثير التربة، كانت قيمة الانزياحات من (0.00058 و حتى 0.0013) في حالة المنشأ الموثوق ومن (0.00083 و حتى 0.0017) في حالة التربة الغضارية شديدة التماسك ومن (0.00066 و حتى 0.0015) في حالة التربة الرملية الكثيفة ومن (0.00072 و حتى 0.0014) في حالة التربة الصخرية.

يمكن ملاحظة أن الانزياح النسبي في حالة المنشأ الموثوق كان أقل بالمقارنة مع حالة المنشأ بعد إضافة النوابض له، كما أنه يزداد كلما قلت صلابة التربة ويزداد قيمتها العظمى في حالة التربة الغضارية.

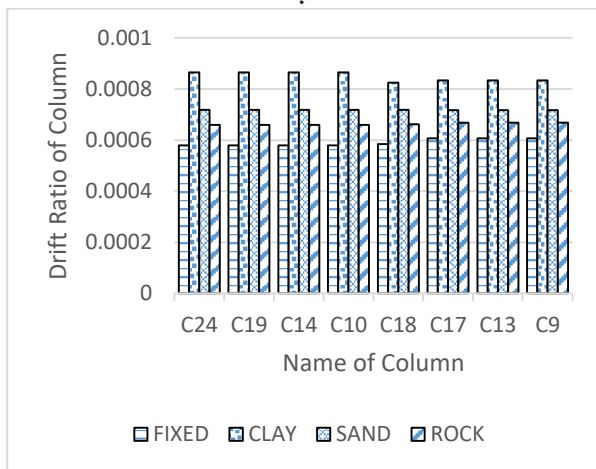


الشكل (7) قوة القص للأعمدة القصيرة في الطابق النصاسي بالاتجاه X في حالة المبني الموثوق والمبني بعد إدخال تأثير التربة.

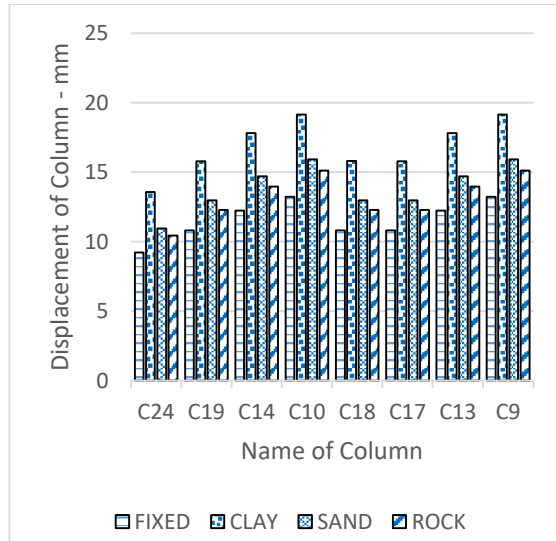
دراسة السلوك الزلزالي للأعمدة القصيرة في منشأ (5.2mm و حتى 10.2mm) في حالة التربة الغضارية شديدة التماسك ومن (4.3mm و حتى 8.6mm) في حالة التربة الرملية الكثيفة ومن (3.9mm و حتى 8.2mm) في التربة الصخرية، وبالتالي فإنه عند إدخال تأثير التربة نلاحظ أن قيمة الانتقال الأفقي تزداد، وتبلغ قيمتها العظمى في حالة التربة الغضارية.



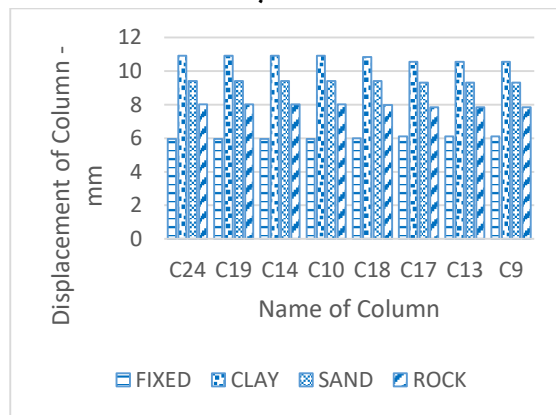
الشكل (5) الانزياح الأفقي النسبي للأعمدة القصيرة في الطابق النصاسي بالاتجاه X في حالة المبني الموثوق والمبني بعد إدخال تأثير التربة.



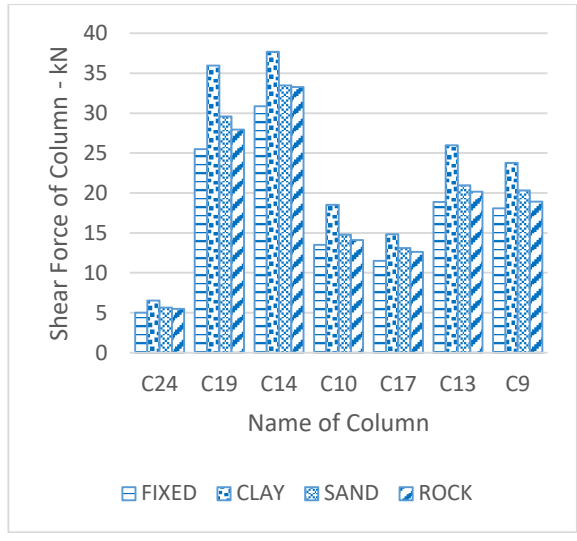
الشكل (6) الانزياح الأفقي النسبي للأعمدة القصيرة في الطابق النصاسي بالاتجاه Y في حالة المبني الموثوق والمبني بعد إدخال تأثير التربة.



الشكل (9) الانتقال الأفقي للأعمدة ذات الارتفاع 3.5m في الطابق فوق النصاسي بالاتجاه X في حالة المبني الموثوق والمبني بعد إدخال تأثير التربة.



الشكل (10) الانتقال الأفقي للأعمدة ذات الارتفاع 3.5m في الطابق فوق النصاسي بالاتجاه Y في حالة المبني الموثوق والمبني بعد إدخال تأثير التربة.



الشكل (8) قوة القص للأعمدة القصيرة في الطابق النصاسي بالاتجاه Y في حالة المبني الموثوق والمبني بعد إدخال تأثير التربة.

يظهر الشكلان (7) و(8) قوة القص للأعمدة القصيرة في الطابق النصاسي بالاتجاهين X,Y في حالة المبني الموثوق وبعد إدخال تأثير التربة، حيث بلغت قيم قوى القص من 8kN وحتى 5kN في حالة المنشأ الموثوق ومن 31kN (5kN) في حالة التربة الغضارية شديدة التماسك ومن 39kN (7kN) في حالة التربة الرملية الكثيفة ومن 35kN (7kN) في حالة التربة الرملية الكثيفة ومن 33kN (5.5kN) في التربة الصخرية.

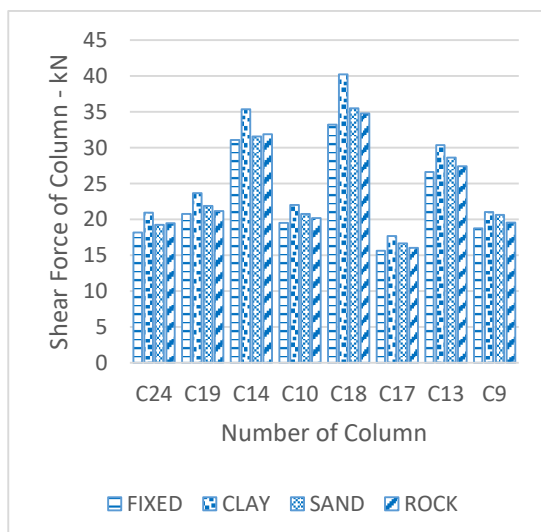
نلاحظ أن قوة القص تزداد عند إدخال التأثير المتبادل بين المنشأ والتربة بعين الاعتبار، وتزداد هذه القيمة كلما ازدادت مرونة التربة لتصبح في أعلى قيمها في حالة التربة الغضارية.

يظهر الشكلان (9) و(10) الانتقالات الأفقية للأعمدة ذات الارتفاع 3.5m في الطابق فوق النصاسي بالاتجاهين X,Y في حالة المبني الموثوق وبعد إدخال تأثير التربة، حيث بلغت قيم الانتقالات من 6mm (10.5mm) في حالة المنشأ الموثوق ومن 13.2mm (19.2mm) في حالة التربة الغضارية شديدة التماسك ومن 9.3mm (15.9mm) في حالة التربة الرملية الكثيفة ومن 7.9mm (10.5mm) في حالة التربة الرملية الكثيفة.

محمد، الصحاوي ونجار

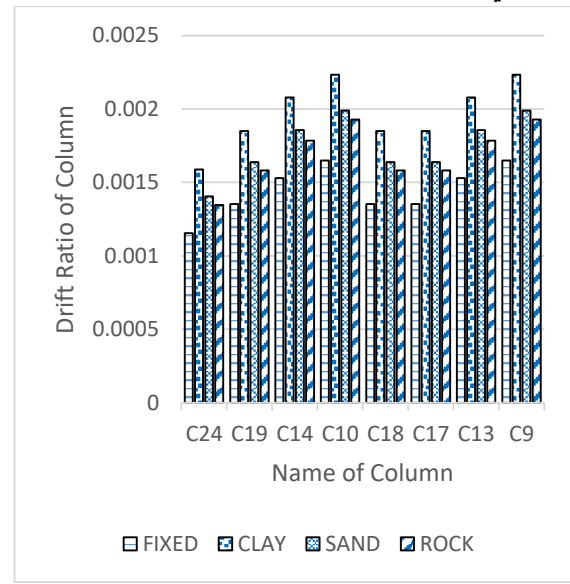
يبين الشكلان (11) و (12) الانزياح الأفقي النسبي للأعمدة ذات الارتفاع 3.5m في الطابق فوق النصاسي بالاتجاهين X, Y في حالة المبني الموثوق وبعد إدخال تأثير التربة، كانت قيمة الانزياحات من (0.00074 و حتى 0.0016) في حالة المنشأ الموثوق ومن (0.00111 و حتى 0.0022) في حالة التربة الغضارية شديدة التماسك ومن (0.00106 و حتى 0.002) في حالة التربة الرملية الكثيفة ومن (0.00098 و حتى 0.0019) في التربة الصخرية.

يمكن ملاحظة أن الانزياح النسبي في حالة المنشأ الموثوق كان أقل بالمقارنة مع حالة المنشأ بعد إضافة النوابض له، كما أنه يزداد كلما قلت صلابة التربة ويزداد القيمة العظمى في حالة التربة الغضارية.

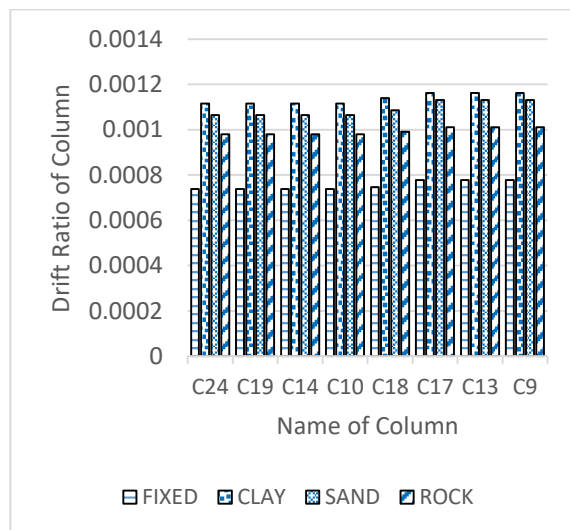


الشكل (13) قوة القص للأعمدة ذات الارتفاع 3.5m في الطابق فوق النصاسي بالاتجاه X في حالة المبني الموثوق والمبني بعد إدخال تأثير التربة.

دراسة السلوك الزلزالي للأعمدة القصيرة في منشأ (15.1mm) في التربة الصخرية، وبالتالي عند إدخال تأثير التربة نلاحظ أن قيمة الانتقال الأفقي تزداد، وتبلغ قيمتها العظمى في حالة التربة الغضارية.



الشكل (11) الانزياح الأفقي النسبي للأعمدة ذات الارتفاع 3.5m في الطابق فوق النصاسي بالاتجاه X في حالة المبني الموثوق والمبني بعد إدخال تأثير التربة.



الشكل (12) الانزياح الأفقي النسبي للأعمدة ذات الارتفاع 3.5m في الطابق فوق النصاسي بالاتجاه Y في حالة المبني الموثوق والمبني بعد إدخال تأثير التربة.

يجب أن لا تتجاوز الإزاحة الطابقية المحسوبة باستعمال Δ_M المقدار 0.025 مرة من ارتفاع الطابق، وذلك للمنشآت التي فترتها الأساسية (دورها) أقل من 0.7sec أما المنشآت التي فترتها الأساسية تساوي 0.7sec أو أكبر، فإن الإزاحة الطابقية المحسوبة يجب أن لا تتجاوز 0.02 مرة ارتفاع الطابق.

إن دور المنشأ المدروso أكبر من 0.7sec وبالتالي فإن:

$$\leftarrow 0.7 \times R \times \Delta_s \leq 0.02h \quad \leftarrow \Delta_M \leq 0.02h$$

$$(\Delta_s)/h \leq (0.02)/(0.7 \times R)$$

وبالتالي تكون قيمة الانزياح النسبي المسموح:

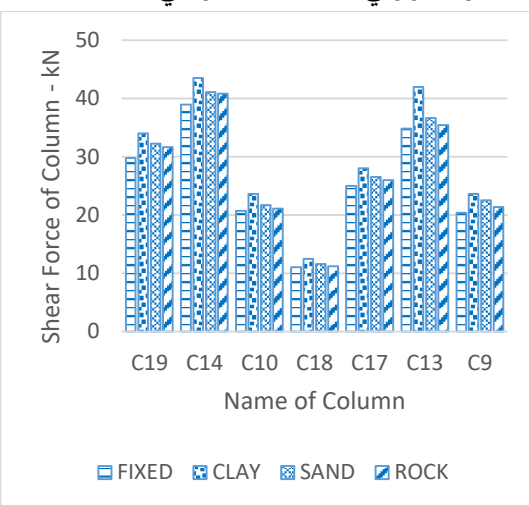
$$(0.02)/(0.7 \times R) = (0.02)/(0.7 \times 6.5)$$

$$= 0.00439$$

تم مقارنة قيم الانزياحات النسبية لجميع الأعمدة مع قيمة الانزياح النسبي المسموح وتبين أن جميع الأعمدة المدروسة أقل من القيمة المسموحة.

4. الاستنتاجات (Discussions)

- 1- نلاحظ ازدياد قيمة كل من (الانتقالات الأفقية - الانزياحات النسبية - قوى القص) في الأعمدة القصيرة عند إدخال التأثير المتبادل بين المنشأ والترية.
- 2- نلاحظ أيضاً زيادة قيمة كل من (الانتقالات الأفقية - الانزياحات النسبية - قوى القص) في الأعمدة ذات الارتفاع الأكبر عندأخذ تأثير التربة بعين الاعتبار.
- 3- بالنسبة للفروقات النسبية فقد بلغت الزيادة في الانتقالات الأفقية ضمن الأعمدة القصيرة (من 37% حتى 66%) في التربة الغضارية شديدة التماسك، كما بلغت الزيادة (من 12% حتى 40%) في التربة الرملية الكثيفة، ومن (8% حتى 23%) في التربة الصخرية وذلك مقارنة مع المبني الموثوق، في حين بلغت الزيادة في الأعمدة ذات الارتفاع الأكبر (من 45% حتى 83%) في التربة الغضارية شديدة التماسك، كما بلغت الزيادة (من 18% حتى 57%) في التربة الرملية الكثيفة، ومن (34% حتى 13%) في التربة الصخرية بالمقارنة مع المبني الموثوق.
- 4- في ما يخص الإزاحات الأفقية ضمن الأعمدة القصيرة فقد تراوحت نسب الزيادة بين (23% و 49%) بالنسبة للتربة



الشكل (14) قوة القص للأعمدة ذات الارتفاع 3.5m في الطابق فوق النصاسي بالاتجاه Z في حالة المبني الموثوق والمبني بعد إدخال تأثير التربة.

يظهر الشكلان (13) و(14) قوة القص للأعمدة ذات الارتفاع 3.5m في الطابق فوق النصاسي بالاتجاهين X, Y في حالة المبني الموثوق وبعد إدخال تأثير التربة، حيث بلغت قيم قوى القص من (38kN حتى 11kN) في حالة المنشأ الموثوق ومن (44kN حتى 14kN) في حالة التربة الغضارية شديدة التماسك ومن (41kN حتى 13kN) في حالة التربة الرملية الكثيفة ومن (40kN حتى 12kN) في التربة الصخرية.

نلاحظ أن قوة القص تزداد عند إدخال التأثير المتبادل بين المنشآس والترية بعين الاعتبار، وتزداد هذه القيمة كلما ازدادت مرونة التربة لتصبح في أعلى قيمها في حالة التربة الغضارية.

1.3. التحقق من قيم الانزياحات النسبية:

يُحسب الانتقال الأعظمي Δ_M الناتج عن الاستجابة (الحركة) الالامنة كما يلي (الملحق رقم 2 للكود العربي

السوري، 2015):

$$\Delta_M = 0.7 \times R \times \Delta_s$$

R: معامل المطواعة

Δ_s : الانزياح الطابقي المرن

5. التوصيات (Recommendations)

- 1- ضرورةأخذ التأثير المتبادل بين المنشأ والتربة بعين الاعتبار وعدم الاكتفاء فقط بحالة الاتصال الموثوق بين المنشأ والتربة.
- 2- دراسة أثر الفتل على سلوك الأعمدة القصيرة.
- 3- إجراء تحليات ديناميكية لا خطية تحت تأثير سجلات زمنية مختلفة ومقارنة النتائج مع طريقة التحليل الديناميكي الخطي (طيف الاستجابة).
- 4- إجراء دراسات لحالات أخرى لأماكن تواجد الأعمدة القصيرة كالأعمدة القصيرة المتشكلة نتيجة الماء الجراري لجدران البلوك أو الأعمدة القصيرة المتشكلة في بيت الدرج نتيجة وجود الميدات وغيرها من الحالات.

التمويل: هذا البحث ممول من جامعة دمشق وفق رقم التمويل (501100020595).

دراسة السلوك الزلزالي للأعمدة القصيرة في منشأ
الغضارية شديدة التماسك، وبين (9% و 24%) بالنسبة للترابة الرملية الكثيفة، وبين (6% و 14%) بالنسبة للترابة الصخرية وذلك مقارنةً مع المبني الموثوق، في حين بلغت الزيادة في الأعمدة ذات الارتفاع الأكبر (من 35% حتى 51%) في التربة الغضارية شديدة التماسك، كما بلغت الزيادة (من 21% حتى 45%) في التربة الرملية الكثيفة، و(من 16% حتى 32%) في التربة الصخرية مقارنةً مع المبني الموثوق.
5- بالنسبة لقوى القص ضمن الأعمدة القصيرة فقد كانت الزيادة ضمن المجال (15 - 41%) في التربة الغضارية شديدة التماسك، وضمن المجال (8 - 16%) في التربة الرملية الكثيفة، وضمن المجال (3 - 9%) في التربة الصخرية وذلك مقارنةً مع المبني الموثوق، في حين بلغت الزيادة في الأعمدة ذات الارتفاع الأكبر (من 11% حتى 21%) في التربة الغضارية شديدة التماسك، كما بلغت الزيادة (من 5% حتى 10%) في التربة الرملية الكثيفة، و(من 6% حتى 2%) في التربة الصخرية بالمقارنةً مع المبني الموثوق.

6. (References):

- [1] الكود العربي السوري، 2012، تصميم وتنفيذ المنشآت بالخرسانة المسلحة، كود الأساسات (الملحق رقم 5)، دمشق، سوريا.
- [2] الملحق رقم (2) للكود العربي السوري، 2015، تصميم وتحقيق المبني والمنشآت المقاومة للزلزال، دمشق، سوريا.
- [3] Al-Hussaini, T. 2016, Soil Foundation Structure Interaction Analysis, Department of Civil Engineering, Bangladesh University of Engineering and Technology, Dhaka, Bangladesh.
- [4] Dogan, M. 2010, Failure analysis of shear columns to seismic events, Engineering Failure Analysis, Vol. 140No.18, pp: 682-693.
- [5] ETABS Integrated Building Design Software, Version 16.2.1, Computers and Structures. Inc, USA, 2018.
- [6] Gevara, T.L., Eeri, M., Garcia, E.L., 2005, The Captive and Short Column Effects, Earthquake Engineering Research Institute, Vol. 21 No. 1, pp: 141-160.
- [7] Ghosh, R. and Debbarma, R. 2019, Effect of slope angle variation on the structures resting on hilly region considering soil-structure interaction, International Journal of Advanced Structural Engineering, Vol. 11, pp: 67-77.
- [8] Jenifer Priyanka, R.M., Anand, N., Justin S. 2012, Studies on Soil Structure Interaction of Multi Storeyed Buildings with Rigid and Flexible Foundation, International Journal of Emerging Technology and Advanced Engineering, Vol. 2, pp: 111-118, Chennai, India.
- [9] Ramin, K. and Mehrabpour, F. 2014, Study of Short Column Behavior Originated from the Level Difference on Sloping Lots during Earthquake (Special Case: Reinforced Concrete Buildings), Open Journal of Civil Engineering, Vol. 4, pp: 23-34, Kermanshah, Iran.
- [10] Soil-Structure Interaction for Building Structures, 2012, the Applied Technology Council and the consortium of Universities for Research in Earthquake Engineering, Gaithersburg, Maryland.
- [11] Yasir, S.F., Abbas, H.A., Jani, J., 2018 - Estimation of soil young modulus based on the electrical resistivity_imaging (ERI) by usinsg regression equation, AIP Conference Proceedings, Malaysia.